

## یک جزء صفحه خمشی برای تحلیل صفحه‌های نازک و نیمه ضخیم

دکتر محمد رضایی پژند (استاد)  
مشهد، دانشکده مهندسی - دانشگاه فردوسی

مهندس سید رضا سرافرازی (مربی)  
بیرجند، دانشکده مهندسی - دانشگاه بیرجند

### چکیده

در این مقاله یک خانواده از اجزای چهاربهدلی سازگار برای تحلیل صفحه‌های خمشی نازک و ضخیم ارائه می‌گردد. اجزای مزبور، بر اساس نگره "رایزنر-میندلین" و روش کرنش فرضی رابطه‌سازی شده‌اند. اثر میدان کرنش در رفتار اجزای این خانواده بررسی گشته است. درآیه‌های ماتریس سختی اجزای مزبور به صورت صریح قابل ارائه می‌باشد.

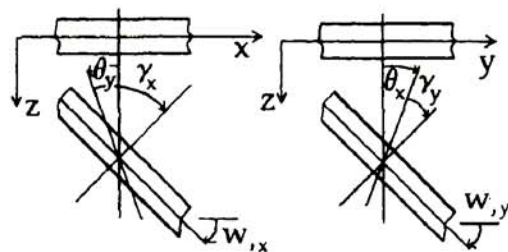
### پیشگفتار

یکی از نگره‌های حاکم بر رفتار صفحه‌های خمشی، نگره "رایزنر-میندلین" [1] است. در این نگره، اثر برش در تغییر شکل صفحه موثر دانسته می‌شود. چنانچه ضخامت صفحه به سمت صفر میل کند؛ نگره مزبور بر آنچه کیرشلف فرض نموده منطبق خواهد گشت. با وجود این، اجزایی که بر اساس نگره "رایزنر-میندلین" رابطه‌سازی می‌شوند، در محدوده صفحه‌های نازک دچار مشکلاتی می‌گردند. این مشکلات به صورت قفل برشی (Shear Locking) و ناکفایتی مرتبه ماتریس سختی بروز می‌کند. قفل برشی به دلیل سختی بیش از حد جزء در محدوده صفحه‌های نازک به وجود می‌آید و سبب به دست آمدن تغییر مکانهای صفر یا نزدیک صفر برای صفحه می‌گردد. روشهای مختلفی برای حل این مشکل پیشنهاد شده‌اند. از آن میان می‌توان روشهای تابع اولیه‌گیری کاهش یافته و انتخابی (Reduced & Selective Integration) [2]، کرنش برشی فرضی [3-4] و بهبود دادن میدانهای خیز یا دوران [5] را نام برد. روشهای تابع اولیه‌گیری کاهش یافته و انتخابی سبب کاهش مرتبه ماتریس سختی می‌شوند [6]. از سوی دیگر، روشهای بهبود دهنده میدانهای درونیاب جزء می‌توانند به ارائه اجزایی کارا و قابل اطمینان منجر شوند. به سخن دیگر، با انتخاب مناسب میدانهای خیز، دوران و کرنش برشی می‌توان اجزای نیرومندی به دست آورد [7]. مقادیر گرهی میدان فرض شده، به طور معمول، با استفاده از رابطه‌های کرنش برشی - تغییر مکان بر حسب تغییر شکل‌های گرهی به دست می‌آیند. چنین رابطه‌هایی به قیدهای برشی موسومند [8]. در این مقاله، اثر میدان انتخابی برای کرنش در رفتار جزء چهارگره‌ای بررسی

می‌گردد. کوشش نویسندگان بر این است که تمام یا قسمتی از ماتریس سختی به صورت صریح به دست آید.

## نگره "رایزنر - میندلین"

در نگره "رایزنر - میندلین"، تغییرشکل‌های صفحه مطابق شکل (۱) می‌باشند. به منظور ارائه رابطه‌های تنش-کرنش و کرنش - تغییر مکان، تعریف‌های (۱) و (۲) برای بردار کرنش و تنش ارائه می‌شوند.



شکل (۱) - تغییر مکان‌های صفحه خمشی میندلین

$$\{\varepsilon\}^T = \{\kappa^T \ \gamma^T\} \quad ; \quad \{\kappa\}^T = \{\kappa_x \ \kappa_y \ \kappa_{xy}\} \quad \{\gamma\}^T = \{\gamma_x \ \gamma_y\} \quad (1)$$

$$\{\sigma\}^T = \{M_x \ M_y \ M_{xy} \ Q_x \ Q_y\} \quad ; \quad \{u\}^T = \{w \ \theta_x \ \theta_y\}$$

$$D_b = D_b \begin{bmatrix} 1 & \nu & 0 \\ \nu & 1 & 0 \\ 0 & 0 & \frac{1-\nu}{2} \end{bmatrix} \quad ; \quad D_s = D_s \begin{bmatrix} 1 & 0 \\ 0 & 1 \end{bmatrix} \quad ; \quad D_m = \begin{bmatrix} D_b & 0 \\ 0 & D_s \end{bmatrix} \quad (2)$$

$$D_b = \frac{Et^3}{12(1+\nu^2)} \quad D_s = \frac{Gt}{1/2} = \frac{Et}{2/4(1+\nu)}$$

با استفاده از این رابطه‌ها، رابطه تنش کرنش را می‌توان به صورت عمومی  $\{\sigma\} = D_m \{\varepsilon\}$  نوشت و رابطه نیرو - تغییر مکان را به صورت  $\{\sigma\} = D_m \{\varepsilon\} = D_m L_m \{u\} = D_m B_m \{D\}$  ارائه داد. در این رابطه  $\{u\}$  بردار تغییر شکل،  $\{D\}$  بردار تغییر مکان‌های گرهی و  $L_m$  یک عملگر دیفرانسیلی شامل مشتقات اول می‌باشد. مطابق روش مرسوم، ماتریس سختی جزء به دو قسمت سختی برشی و خمشی تقسیم می‌گردد. ماتریس سختی خمشی از تابع اولیه گیری تابعی از انحنا و ماتریس سختی برشی از تابع اولیه گیری تابعی از کرنش برشی به دست می‌آید.

## محاسبه ماتریس سختی صریح

در این بخش چگونگی محاسبه صریح ماتریس سختی یک جزء چهاربهلوی صفحه خمشی ارائه می‌شود. برای این منظور، کلیه میدان‌های هندسه، تغییر مکان و کرنش این جزء به صورت لاگرانژی دوخطه درونیابی می‌گردند. مقادیر گرهی کرنشها به صورت  $\{\gamma_i\} = B_{si} \{D\}$  و  $\{\kappa_i\} = B_{bi} \{D\}$  به دست می‌آیند. ماتریسهای  $B_{si}$  و  $B_{bi}$ ، به ترتیب، مقادیر گرهی ماتریسهای کرنش خمشی و برشی در گره  $i$  هستند. با تعیین کرنش خمشی، کارمایه کرنش خمشی و در نتیجه ماتریس سختی قابل محاسبه است:

$$S_b = \sum_{i=1}^4 \sum_{j=1}^4 c_{ij} B_{bi}^{*T} \frac{D_b}{D_b} B_{bj}^* \quad ; \quad c_{ij} = \frac{D_b}{|J_i| |J_j|} \int N_i N_j dA \quad ; \quad B_b^* = |J| B_b \quad (3)$$

عامل  $|J|$  دترمینان ژاکوبی است. با توجه به این که مختصات طبیعی گره‌ها به صورت ۱ و ۱- هستند محاسبات

رابطه (۳) را می توان باسانی انجام داد و عبارات صریحی برای ماتریس سختی خمشی به دست آورد. به طرز مشابهی، ماتریس سختی برشی قابل ارائه است. جزئی که از این روش به دست می آید، رفتاری مشابه با جزء چهارگرهی لاگرانژی با تابع اولیه گیری کامل داشته و در محدوده صفحه های نازک قفل می نماید. یک روش ساده برای حذف قفل برشی ثابت فرض کردن کرنش برشی در درون جزء است. این کار می تواند با میانگین گیری کرنش برشی در سطح جزء انجام شود. جزء حاصل، که نام QP بر آن نهاده شده است، رفتاری مشابه جزء چهارگرهی با تابع اولیه گیری کاهش یافته انتخابی دارد. این جزء دو حالت (مود) حرکتی غیرواقعی با کارمایه کرنشی صفر دارد.

خاطر نشان می گردد، در روش پیشنهادی به سبب صریح بودن ماتریسهای کرنش، لنگرها و برشهای گرهی بدون عملیات اضافی قابل محاسبه اند. این ویژگی در اجزایی که از تابع اولیه گیری عددی استفاده می کنند وجود ندارد. در چنین اجزایی، نیروها در نقاط گوس محاسبه شده و سپس، برای محاسبه مقادیر گرهی، پاسخها برونیابی می شوند. افزون بر این، نیاز به هموارسازی پاسخها نیز می باشد.

### جزء MQP

همان گونه که در بخش پیش درج شد؛ جزء QP دارای دو حالت حرکتی غیرواقعی است. این دو حالت به سبب ناکافی بودن ضرایب مجهول درونیاب کرنش برشی به وجود می آیند. با افزودن دو جمله مناسب دیگر به درونیابهای کرنش برشی می توان حالت های حرکتی غیرواقعی را حذف نمود. با استفاده از رابطه (۴) می توان به چنین نتیجه ای دست یافت [3]. عامل های  $\gamma_{\xi}$  و  $\gamma_{\eta}$ ، کرنشهای برشی در مختصات طبیعی جزء هستند. خاطر نشان می کند، گره های ۵ تا ۸ همانند جزء سرنندی پتی در میان پهلوهای جزء قرار دارند.

$$\gamma_{\xi} = \sum_{i=1,6} N_{\eta i} \gamma_{\xi i} ; \gamma_{\eta} = \sum_{i=0,7} N_{\xi i} \gamma_{\eta i} ; N_{\xi i} = \frac{1}{4}(1+\xi_i \xi) ; N_{\eta i} = \frac{1}{4}(1+\eta_i \eta) \quad (4)$$

کرنشهای برشی گرهی  $\gamma_{\xi i}$  و  $\gamma_{\eta i}$  را می توان با استفاده از رابطه های کرنش - تغییر مکان بر حسب تغییرشکل های گرهی نوشت. برای این منظور، نخست کرنشهای برشی در مختصات دکارتی بر حسب تغییرشکل های صفحه به دست می آیند. سپس با فرض درونیابی دوخطه برای خیز و کمک گرفتن از ماتریس تبدیل ژاکوبی، مولفه های طبیعی کرنش برشی محاسبه می گردند. با جایگزینی مختصات گرهی در رابطه به دست آمده، می توان کرنشهای برشی گرهی  $\gamma_{\xi i}$  و  $\gamma_{\eta i}$  را محاسبه نمود و به صورت ماتریسی  $\{\gamma_{\xi \eta}\} = \mathbf{G}\{D\}$  ارائه کرد. در نتیجه، میدانهای کرنش برشی در مختصات طبیعی و دکارتی به صورت زیر نوشته می شوند:

$$\begin{Bmatrix} \gamma_{\xi} \\ \gamma_{\eta} \end{Bmatrix} = \begin{bmatrix} N_{\eta 1} & N_{\eta 2} & \cdot & \cdot \\ \cdot & \cdot & N_{\xi 1} & N_{\xi 2} \end{bmatrix} \mathbf{G}\{D\} = \mathbf{N}\mathbf{G}\{D\} ; \{\gamma\} = \begin{Bmatrix} \gamma_x \\ \gamma_y \end{Bmatrix} = \mathbf{J}^{-1} \mathbf{N}\mathbf{G}\{D\} \quad (5)$$

بر این اساس، ماتریس سختی برشی به صورت  $\mathbf{S}_S = \mathbf{G}^T \mathbf{S}_S^* \mathbf{G}$  قابل محاسبه است. با تجزیه وارون ماتریس ژاکوبی، ماتریس  $\mathbf{S}_S$  به صورت رابطه (۷) ارائه می گردد.

$$\mathbf{J}^{-1} = \frac{1}{4|J|} \begin{bmatrix} -y_{14} & -y_{23} & y_{12} & -y_{24} \\ x_{41} & x_{32} & -x_{21} & x_{43} \end{bmatrix} \begin{bmatrix} 1-\xi & \cdot \\ 1+\xi & \cdot \\ \cdot & 1-\eta \\ \cdot & 1+\eta \end{bmatrix} = \frac{1}{4|J|} \mathbf{R}\mathbf{H} \quad (6)$$

$$S'_s = D_s \int_{-1}^1 \int_{-1}^1 (\mathbf{H}\mathbf{N})^T \mathbf{R}^T \mathbf{R} (\mathbf{H}\mathbf{N}) \frac{1}{16|J|} d\eta d\xi \quad (7)$$

چنانچه دترمینان ژاکوبی ثابت و برابر  $a = \frac{A}{4} = |J|$  فرض می شود ماتریس  $S'_s$  به صورت زیر نوشته می شود:

$$S'_s = \frac{D_s}{4A} \int_{-1}^1 \int_{-1}^1 (\mathbf{H}\mathbf{N})^T \mathbf{R}^T \mathbf{R} (\mathbf{H}\mathbf{N}) d\eta d\xi \quad (8)$$

در اینجا، دو جزء بنامهای MQP و MQP1 ارائه می گردد. جزء MQP، رابطه (7) را با تابع اولیه گیری عددی و استفاده از  $2 \times 2$  نقطه نمونه گوس محاسبه می نماید. چنانچه از رابطه (8) برای محاسبه  $S'_s$  استفاده شود، جزء MQP1 به دست خواهد آمد. در حالتی که شکل جزء متوازی الاضلاع باشد، دترمینان ژاکوبی ثابت بوده و دو جزء مورد نظر پاسخهای یکسانی خواهند داد. آزمونهای عددی نشان می دهد که در حالت کلی تفاوت چندانی بین پاسخهای دو جزء مشاهده نمی شود. باید افزود، تفاوت موجود با ریز شدن شبکه کاهش می یابد. شایان توجه است، با انجام آزمونهای وصله (Patch Tests) برای جزء MQP، مشاهده گردید که جزء مزبور، قادر به برقراری دقیق حالت انحنای ثابت در اجزای کلی نیست. این مشکل با درونیابی حاصلضرب دترمینان ژاکوبی در انحنای  $\{K\}$ ، به صورت دوخطه رفع گردید. در این حالت، فقط نیاز به تغییر ماتریس C است. درآیه های ماتریس C از رابطه زیر به دست می آیند:

$$c_{ij} = \frac{D_b}{|J_i| |J_j|} \int_{-1}^1 \int_{-1}^1 \frac{N_i N_j}{|J|} d\xi d\eta \quad (9)$$

با استفاده از  $2 \times 2$  نقطه نمونه گوس، رابطه (9) محاسبه شده و ماتریس C به صورت صریح ارائه می گردد. با کاربرد ماتریس C جدید در جزء MQP1، همه آزمونهای وصله به طور دقیق برقرار می گردد. مورب شدن اجزا، به طور معمول، از دقت پاسخها می کاهد. ممکن است با ایجاد نامنظمی ناچیزی در شبکه، خطاها به صورت قابل ملاحظه ای افزایش یابد. لیلی [9]، در سال ۱۹۹۳ میلادی، تلاش کرد با تغییر صلبیت برشی  $D_s$ ، این رفتار را بهبود بخشد. تغییر صلبیت برشی در تیرها، می تواند منجر به ارائه ماتریس سختی دقیق تیر تیموشنکو می شود [10]. گرچه نویسندگان اطلاع دقیقی از گسترش این روش به تحلیل صفحه ها ندارند؛ ولی مشابه حالت تیر تیموشنکو صلبیت برشی صفحه خمشی میندلین را می توان به صورت زیر تغییر داد:

$$D_s^* = \left( \frac{1}{D_s} + \frac{12\lambda}{D_b} \right)^{-1} = D_s \left( 1 + \frac{\lambda}{t^2} \frac{1+\nu}{2/4} \right)^{-1} \quad (10)$$

ضریب  $\lambda$  می تواند سطح جزء یا مجذور بعد بزرگتر جزء  $t^2$ ، باشد. لیلی مجذور طول بلندترین پهلوی جزء را به عنوان ضریب  $\lambda$  در نظر گرفت. بجای مقدار  $\frac{(1+\nu)}{4}$  نیز  $0/1$  فرض می نماید. برای بررسی اثرهای چنین تغییراتی سه جزء دیگر بنامهای SQP1، SQP2 و SQP3 معرفی می گردد. در جزء نخست از رابطه (10) برای تصحیح صلبیت برشی استفاده شده است. روش لیلی در جزء SQP2 به کار رفته و جزء SQP3 نیز بجای ضریب  $\lambda$  از مساحت جزء استفاده می نماید. هر سه جزء درج شده از تغییر جزء MQP به دست آمده اند. خاطر نشان می کند، برای اجزای مربع شکل پاسخهای دو جزء SQP1 و SQP3 یکسان خواهند بود.

## ازمونهای عددی

### تحلیل صفحه مربعی

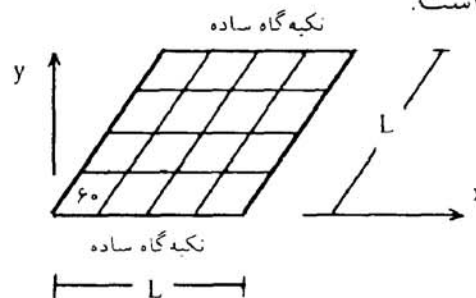
در این بخش، تحلیل یک صفحه مربعی گیردار زیر اثر بار گسترده یکنواخت مورد توجه قرار می‌گیرد. به سبب تقارن سازه، یک چهارم آن با  $N \times N$  جزء الگوسازی شده است. جزء MITC4 در جدول (۱)، همان جزء پته و دورکین [3] است.

جدول (۱) - درصد خطای مقادیر بیشینه خیز، لنگر و برش در صفحه مربعی گیردار و بار گسترده ( $L/t=10$ )

	$N \times N$	$1 \times 1$	$2 \times 2$	$3 \times 3$	$4 \times 4$	$5 \times 5$	$6 \times 6$
خیز بیشینه	QP	-۷۶/۱۹	-۲/۷۶۰	-۰/۹۰۰	-۰/۳۵۳	-۰/۱۱۳	۰/۰۱۳
	MQP	-۸۲/۱۴	-۴/۶۱۳	-۱/۶۶۷	-۰/۸۰۷	-۰/۴۰۷	-۰/۱۹۳
	SQP1	۴۸/۰۷	۲۱/۵۶	۱۰/۶۰	۶/۱۵۳	۴/۰۶۰	۲/۹۲۰
	SQP2	-۳۷/۵۰	۴/۵۷۳	۲/۲۶۷	۱/۶۰۰	۱/۱۳۳	۰/۸۸۰
	MITC4	-۸۲/۰۰	-۴/۶۶۷	-۱/۳۳۳	-۰/۶۶۷	-۰/۶۶۷	۰
لنگر بیشینه	QP	-۱۰۰	-۲/۰۳۵	۴/۲۴۲	۱/۲۵۵	۱/۱۶۹	۰/۹۵۲
	MQP	-۱۰۰	۲/۳۳۸	۲/۵۱۱	۱/۴۲۹	۱/۰۸۲	۰/۸۶۶
	SQP1	-۱۰۰	-۲/۹۴۴	۲/۱۶۵	۱/۵۵۸	۱/۰۷۸	۰/۹۹۶
	SQP2	-۱۰۰	-۰/۰۴۳	۲/۴۲۴	۱/۴۷۲	۱/۱۲۶	۰/۹۰۹
	MITC4	-۱۰۰	۲/۱۶۵	۲/۵۹۷	۱/۲۹۹	۰/۸۶۶	۰/۸۶۶
برش بیشینه	QP	-۷۵/۶۳	-۵۰/۸۰	-۳۸/۴۲	-۳۴/۲۳	-۳۱/۲۷	-۲۹/۳۲
	MQP	-۶۳/۴۵	-۳۶/۵۹	-۳۵/۰۷	-۳۱/۸۹	-۲۹/۷۹	-۲۸/۲۵
	SQP1	-۶۳/۴۵	-۴۲/۵۹	-۳۶/۹۶	-۳۳/۰۴	-۳۰/۵۳	-۲۸/۸۱
	SQP2	-۶۳/۴۵	-۳۹/۳۰	-۳۵/۷۷	-۳۲/۳۰	-۳۰/۰۶	-۲۸/۴۴
	MITC4	-۱۰۰	-۶۷/۸۴	-۵۱/۸۵	-۴۲/۶۹	-۳۶/۲۶	-۳۲/۵۵

### صفحه مورب رزاقی

شکل (۲) یک صفحه مورب را نشان می‌دهد. دو لبه مقابل هم در این سازه دارای تکیه‌گاه ساده و دو لبه دیگر آزادند. بار گسترده‌ای به صفحه وارد می‌شود. رزاقی این مساله را با اجزای مثلثی تحلیل نمود [4]. در جدول (۲) درصد خطای خیز مرکزی و لنگر  $M_y$  در مرکز برای اجزای ارائه شده درج گردیده است. شایان توجه است که در درونیابهای جزء DKMQ مرجع [12] و جزء مثلثی مرجع [13] جملات درجه دو وجود دارند. این عامل سبب افزایش دقت اجزای مزبور گردیده است.



شکل (۲) - صفحه مورب رزاقی ( $N=4$ )

جدول (۲) - درصد خطای خیز و لنگر  $M_y$  مرکز صفحه مورب رزاقی

جزء	OP	MQP	SQP1	SQP2	SQP3	DKMQ	Q1	جزء مثلثی
						[12]	[11]	[13]
$N \times N$	خیز مرکزی							
۲×۲	-۵۵/۷۱	-۴۹/۹۵	-۲۳/۵۴	-۴۰/۷۵	-۲۷/۰۶۹	۱۶/۲	۲۸/۸	-۱۱/۸
۴×۴	-۱۵/۰۴	-۱۵/۲۰	-۷/۱۸۰	-۱۲/۳۶	-۸/۲۳۶	۳/۱۰۰	۱۰/۷۰	-۴/۱۰۰
۶×۶	-۶/۹۳۷	-۷/۲۱۵	-۳/۰۴۹	-۵/۷۱۸	-۳/۵۸۳	۱/۵۰۰	---	---
۸×۸	-۴/۰۲۴	-۴/۲۲۱	-۱/۵۸۷	-۳/۲۵۸	-۱/۹۲۴	/۹۰۰	۳/۳۰۰	-۱/۵۰۰
$N \times N$	لنگر $M_y$ مرکزی							
۲×۲	-۵۰/۶۸	-۶۰/۴۶	-۵۶/۷۴	-۵۸/۷۰	-۵۷/۰۶	۳/۸۰۰	۳۷/۷۰	۲۷/۶۰
۴×۴	-۲۵/۰۷	-۱۹/۰۲	-۱۷/۴۳	-۱۸/۲۶	-۱۷/۵۸	-۰/۱۰۰	۱۳/۰۰	۰/۲۰۰
۶×۶	-۶/۷۵۸	-۹/۱۸۸	-۸/۰۰۹	-۸/۶۵۶	-۸/۱۳۴	-۰/۲۰۰	---	---
۸×۸	-۶/۹۸۷	-۵/۲۴۶	-۴/۳۹۰	-۴/۸۷۰	-۴/۴۱۱	-۰/۲۰۰	۳/۶۰۰	۰/۸۰۰

### صفحه مورب مورلی

یکی از مسایل تحلیلی مشکل را می توان تحلیل صفحه مورب مورلی دانست. هندسه سازه مورد نظر مشابه صفحه مورب رزاقی، شکل (۲)، است. با این تفاوت که زاویه ۶۰ درجه به ۳۰ درجه تبدیل می شود. مرزهای آزاد نیز روی تکیه گاه ساده قرار می گیرند. ضخامت صفحه و طول  $L$ ، به ترتیب، برابر ۱ و ۱۰۰ است. به سبب زاویه شدید گوشه آن تغییرات خیز و لنگر سریع بوده و همگرایی به پاسخ دقیق به کندی انجام می شود. برای وارد کردن شرایط تکیه گاهی از دو نوع تکیه گاه ساده سخت و نرم، به ترتیب، در لبه های موازی با محور  $x$  و دو لبه دیگر استفاده شده است.

جدول (۳) - مقایسه مقادیر خیز و لنگر مرکز صفحه مورلی

عامل	N	MQP	SQP2	DKMQ	MITC4	SCP-1	Q4BL	جزء مثلثی
بهنجار شده				[12]	[3]	[14]	[15]	[13]
$M_{max}$	۴	۰/۶۹۹	۰/۹۵۲	۱/۸۶۳	۰/۸۷۷	۱/۰۲۲	۱/۲۵۵	۱/۱۹۸
	۸	۰/۷۶۲	۰/۹۶۳	۱/۲۴۳	۰/۸۴۱	۱/۰۲۵	۱/۰۷۵	۱/۰۷۵
$M_{min}$	۴	۰۶۶۷	۰/۸۱۲	۱/۶۲۱	۰/۸۵۳	۱/۱۳۹	۱/۰۴۹	۰/۹۴۹
	۸	۰/۷۳	۱/۰۰۴	۱/۱۸۱	۰/۸۸۶	۱/۱۰۵	۱/۰۷۸	۱/۰۶۹
$M_{max}$	۴	۰/۷۷۳	۰/۸۷۵	۱/۲۲۵	۰/۸۷۴	۱/۰۶۷	۱/۰۵۳	۰/۹۴۹
	۸	۰/۸۳۷	۰/۹۹۳	۱/۰۸۶	۰/۹۰۷	۱/۰۴۶	۱/۰۴۲	۰/۹۷۲

همان گونه که پیش از این اشاره گردید؛ تحلیل صفحه مورلی یک آزمون مشکل می باشد. این مطلب را می توان از بررسی جدول (۳) دریافت. حتی جزء DKMQ که در تحلیل صفحه رزاقی رفتار خوبی را نشان داده، در این مساله پاسخهایی با خطای بیشتر ارائه می دهد. در بین این اجزا، SCP-1 و Q4BL رفتار بسیار خوبی را ارائه می کنند. جزء SCP-1 از تغییر مکانهای لبه ای وابسته استفاده می نماید [14]. جزء Q4BL نیز دو درجه آزادی دورانی اضافی در مرکز دارد. افزون بر این، در درونیاب خیز آن جملات درجه دو نیز موجود می باشند [15]. در این آزمون، جزء SQP2 رفتار بسیار خوبی دارد.

## تحلیل دایره گیردار

در این آزمون دایره گیرداری زیر اثر بارگسترده یکنواخت مورد توجه قرار می گیرد. به سبب تقارن سازه، یک چهارم آن، به ترتیب، با ۳، ۱۲، ۲۷ و ۴۸ جزء الگوسازی شده است. همان گونه که از جدول (۴) مشاهده می گردد، اجزای MQP1 و SQP2 رفتار خوبی را در مقایسه با سایر اجزا نشان می دهند. برخی از این جزءها، مانند جزء مثلثی DST-BK، خیزهای خوبی را ارائه می کند. با وجود این، لنگرهای آن دارای دقت کمتری هستند. یادآوری می کند، جزء AST6، مثلثی درجه دو بوده و در سال ۱۹۹۷ میلادی، ارائه گشته است [16].

جدول (۴) - خیز و لنگر بهنجار شده مرکز صفحه دایره ای ( $R/t=50$ )

عامل	N	T6/3° [16]	AST6 [16]	DKMQ [12]	DST-BK [17]	MQP1	SQP2
۱ ۲ ۳	۳	۰/۶۶۵	۰/۹۷۷	۱/۰۱۰	۱/۰۰۶	۰/۹۰۹	۱/۱۴۱
	۱۲	۰/۸۲۵	۰/۹۵۷	۱/۰۳۲	۱/۰۰۷	۰/۹۸۷	۱/۰۳۵
	۴۸	۰/۹۵۴	۰/۹۶۷	۱/۰۰۸	۱/۰۰۲	۰/۹۹۶	۱/۰۰۸
۴ ۵ ۶	۳	۰/۲۱۷	۱/۱۷۱	۱/۲۵۱	۱/۲۶۱	۰/۹۱۰	۰/۹۷۶
	۱۲	۰/۳۵۴۱	۱/۰۳۴	۱/۰۵۹	۱/۱۰۸	۱/۰۰۶	۱/۰۰۰
	۴۸	۰/۷۳۵	۰/۹۹۶	۱/۰۱۵	۱/۰۳۰	۱/۰۰۱	۱/۰۰۰

## نتیجه گیری

پس از انجام کارهای عددی فراوان نتایجی به دست آمده است که در ادامه به آنها پرداخته می شود. کاربرد میدانهای دوخطی برای کرنش برشی در یک جزء چهارگره‌ی منجر به قفل برشی جزء در محدوده صفحه‌های نازک خواهد شد. چنانچه درونیاب کرنش برشی به صورت ثابت در جزء فرض گردد، جزء QP به دست می آید. جزء مزبور، در موارد کاربردی قفل نخواهد کرد. با وجود این، همانند اجزای با تابع اولیه گیری کاهش یافته، دو حالت حرکتی صفر غیرواقعی در این جزء وجود دارد. حالت‌های حرکتی غیرواقعی را می توان با درونیابی کرنشهای برشی  $\gamma_7$  و  $\gamma_8$  به ترتیب، به صورت تابعی خطی از  $\eta$  و  $\xi$  حذف نمود. جزء به دست آمده از این روش، MQP نام داشته و مشابه جزء بت و دورکین است. با این تفاوت که به دلیل درونیابی دوخطی انحنا در این جزء، آزمون وصله در اجزای مورب به طور دقیق برقرار نمی شود. برای برقراری حالت کرنش ثابت، درونیاب انحنا بر دترمینان ژاکوبی تقسیم شد. این کار در جزء MQP1 انجام شده است. در ضمن، با درونیابی کرنش می توان ماتریس سختی را به صورت صریح ارائه کرد. آزمونهای عددی نشان می دهد که صریح بودن ماتریس سختی سبب کاهش حدود ۴۰ درصدی زمان محاسبه ماتریس سختی می گردد.

رابطه‌های به کار رفته برای تغییر صلبیت برشی، باعث کاهش مقدار مزبور می گردد. به سبب این که خانواده QP، به طور معمول، سختتر از واقعیت هستند؛ تغییر صلبیت برشی رفتار جزء را بهبود خواهد داد. در اثر تغییر صلبیت برشی، بهترین نتایج در جزء SQP2 مشاهده می شود. باید افزود، بهبود صلبیت برشی می تواند رفتار قفل کنندگی جزء را نیز بهبود دهد.

## مراجع

- [1] - O.C. Zienkiewicz and R.L. Taylor, The Finite Element Method, Vol. 2, McGraw-Hill, New York, (1991)

- [2] -T.J.R. Hughes , M. Cohen and M. Haroun,"Reduced and Selective Integration Techniques in the Finite Element Analysis of Plates", Nucl. Engng. Design 46, 203-222,(1978).
- [3] -K.J. Bathe and E.N. Devorkin,"A Four-Node Plate Bending Element Based on Mindlin/Reissner Plate Theory and a Mixed Interpolation", Int. J. Numer. Meth. Engng. 21, 367-383,(1985).
- [4] -E. Hinton and H.C. Huang," A Family of Quadrilateral Mindlin Plate Elements with Substitute Shear Strain Fields", Comput. Struct. 23, 409-431,(1986).
- [5] -H.R.H Kabir," A Shear Locking Free Isoparametric Three-Node Triangular Finite Element for Moderately Thick to Thin Plates", Int. J. Numer. Meth. Engng. 35,503-519,(1992).
- [6] -E.D.L. Pugh , E. Hinton and O.C. Zienkiewicz," A Study of Quadrilateral Plate Bending Elements With Reduced Integration", Int. J. Numer. Meth. Engng. 12,1059-1079,(1978).
- [7] -O.C. Zienkiewicz and Lefebvre," A Robust Triangular Plate Bending Element of the Reissner/Mindlin Type", Int. J. Numer. Meth. Engng. 26, 1169-1184,(1988).
- [8] -E. Onate , R.L. Taylor , O.C. Zienkiewicz and O.C. Suarez," A General Methodology for Deriving Shear Constrained Reissner-Mindlin Plate Elements ", Int. J. Numer. Meth. Engng. 33, 345-367,(1992).
- [9] -M. Lyly , R. Stenberg and Vihinen," A Stable Bilinear Element for the Reissner-Mindlin Plate Model", Comput. Meth. Appl. Mech. Engng. 110,343-357,(1993).
- [10] - R.H. MacNeal," A Simple Quadrilateral Shell Element", Comput. Struct. 8, 175-183,(1978).
- [11] - O.L. Roufaeil," A New Four-Node Quadrilateral Plate Bending Element", Comput. Struct. 54,871-879,(1995).
- [12] - I. Katili," A New Discrete Kirchhoff-Mindlin Element Based on Mindlin-Reissner Theory and Assumed Shear Strain Fields. Part II: An Extended DKQ Element for Thick Plate Bending Analysis", Int. J. Numer. Meth. Engng. 36. 1885-1908,(1993).
- [13] - X. Zhongnian," A Thick-Thin Triangular Plate Element", Int. J. Numer. Meth. Engng. 33,963-973,(1992).
- [14] - G. Shi and P. Tong," Assumed Stress  $C^0$  Quadrilateral/Triangular Plate Elements by Interrelated Edge Displacements", Int. J. Numer. Meth. Engng. 39 ,1041-1051,(1996).
- [15] - O.C. Zienkiewicz , Z. Xu, L.F. Zeng , A. Samuelsson and N.-E. Wiberg," Linked Interpolation for Reissner- Mindlin Plate Elements. Part I- A Simple Quadrilateral", Int. J. Numer. Meth. Engng. 36, 3043-3056,(1993).
- [16] - K.Y. Sze , D. Zhu and D.R. Chen," Quadratic Triangular  $C^0$  Plate Bending Element", Int. J. Numer. Meth. engng. 40,937-951,(1997).
- [17] - J.L.Batoz and I. Katili, " On a Simple Triangular Reissner/Mindlin Plate Element Based on Incompatible Modes and Discrete Constraints", Int. J. Numer. Meth. Engng. 35, 1603-1632,(1992).